

Imagerie Echo et IRM des Cardiopathies Hypertrophiques

Chirine PARSAI

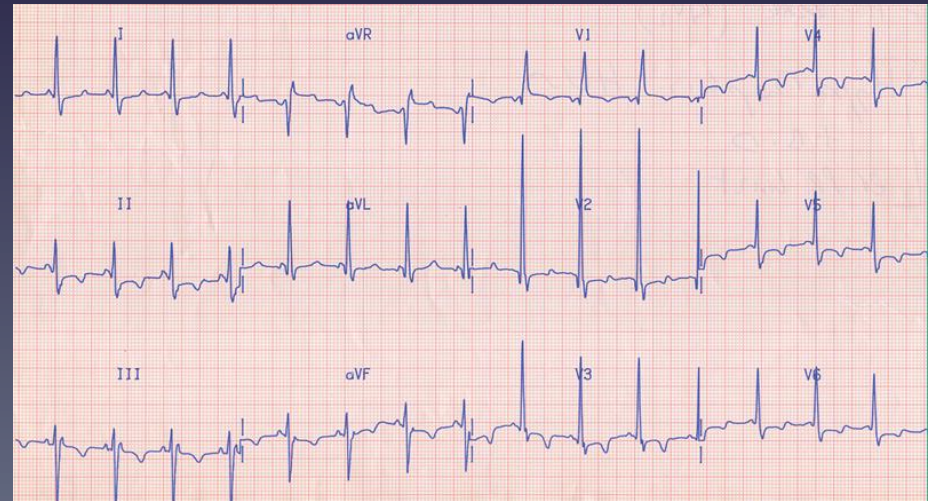
Polyclinique Les Fleurs

Ollioules

Quizz

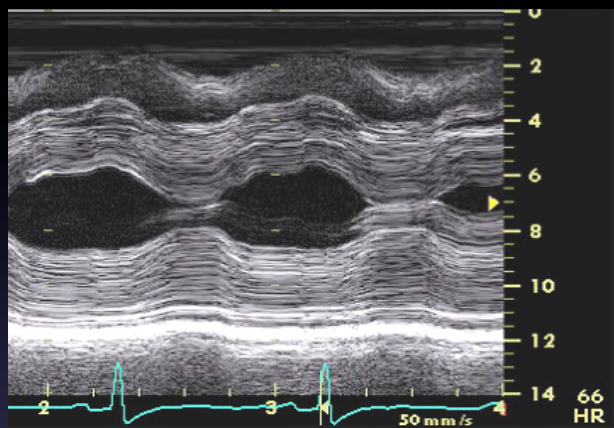
- Femme 55 ans, Bilan Cardiologique
- SF: Aucun
- FRCV: O
- TA: 150/90, Pouls reg
- Examen clinique: normal

ECG

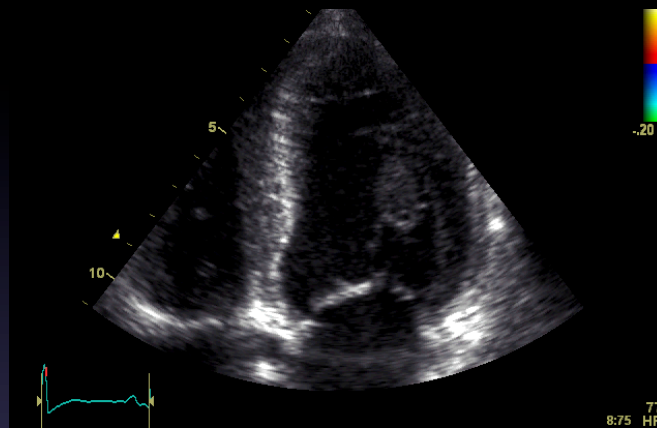


Quizz

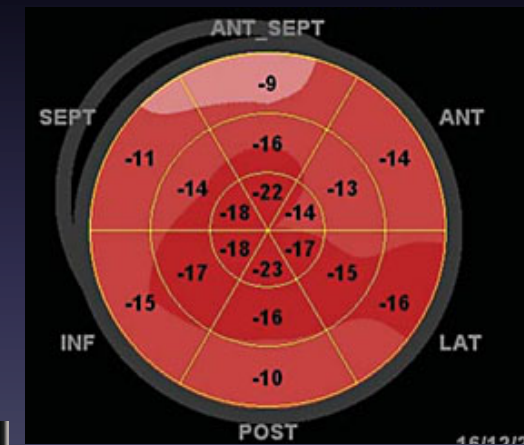
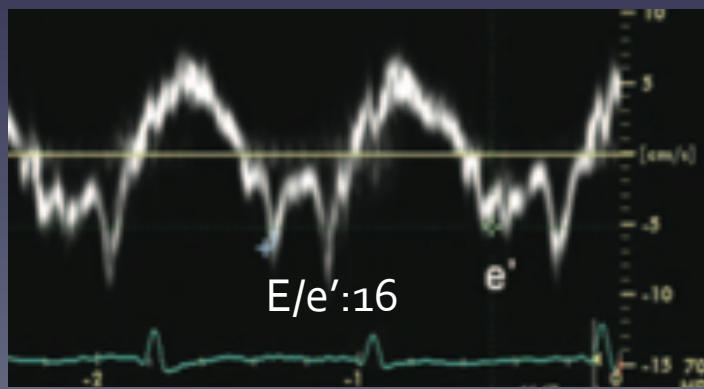
HVG concentrique



FEVG: 75%



Pressions de remplissage élevées



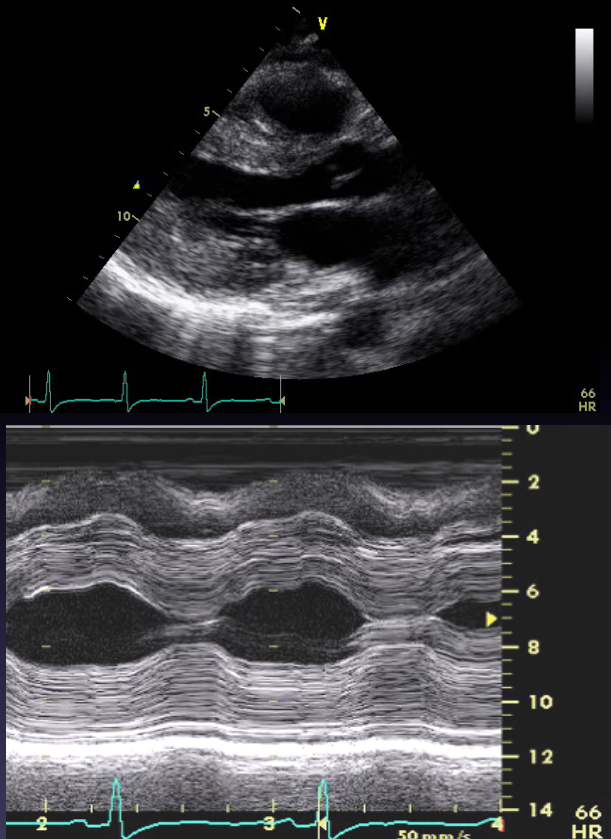
GLS: -20%

Quizz

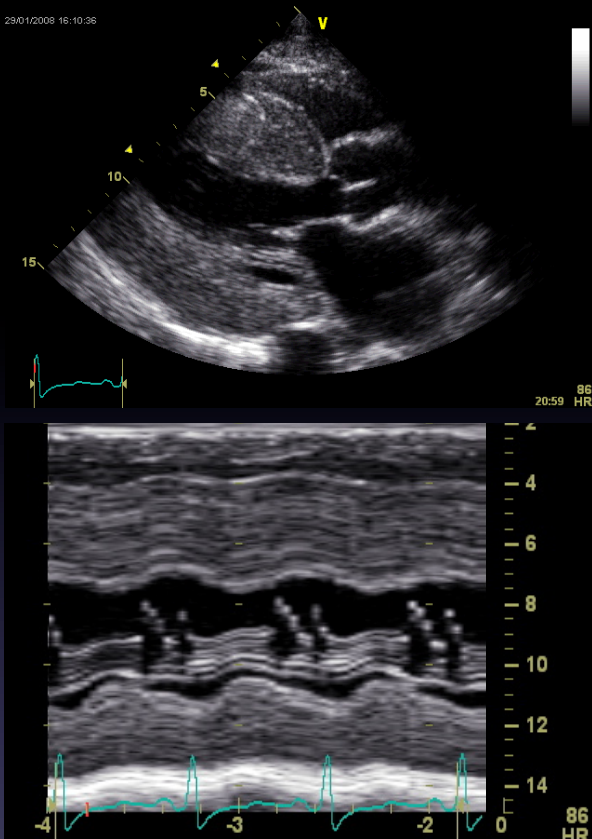
- Origine de la cardiopathie?

- ① HTA
- ② CMH primitive
- ③ Amylose
- ④ Maladie de Fabry

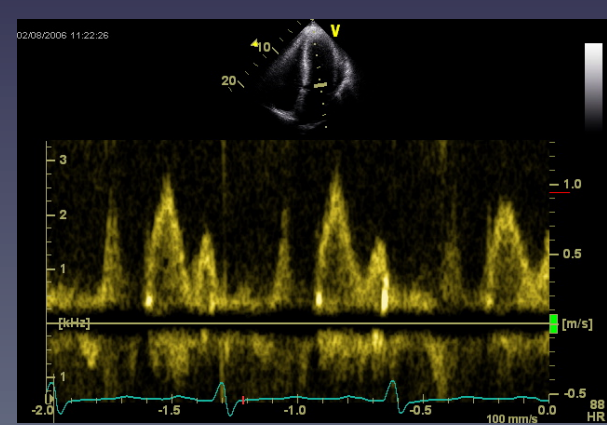
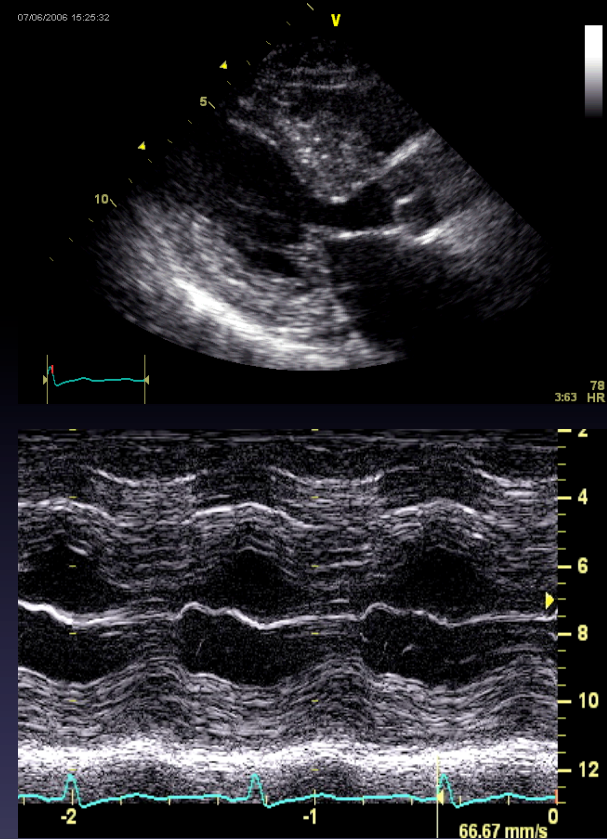
Hypertension



Amylose

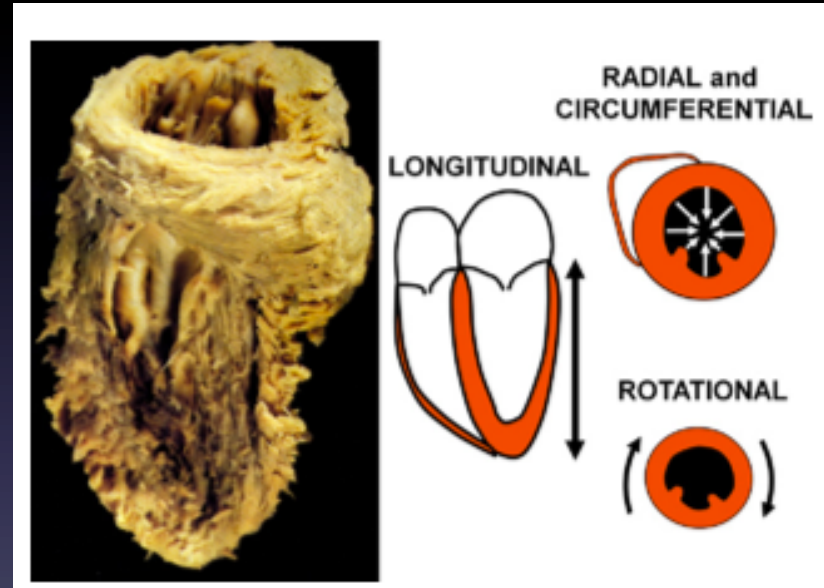


CMH



Principes Pratiques

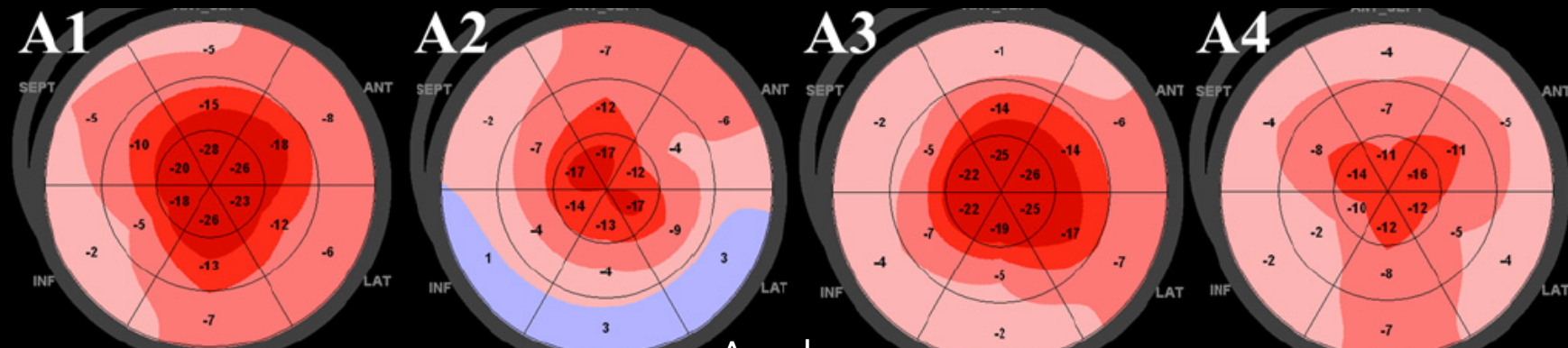
- Fibres sous-endocardiques sont les plus vulnérables



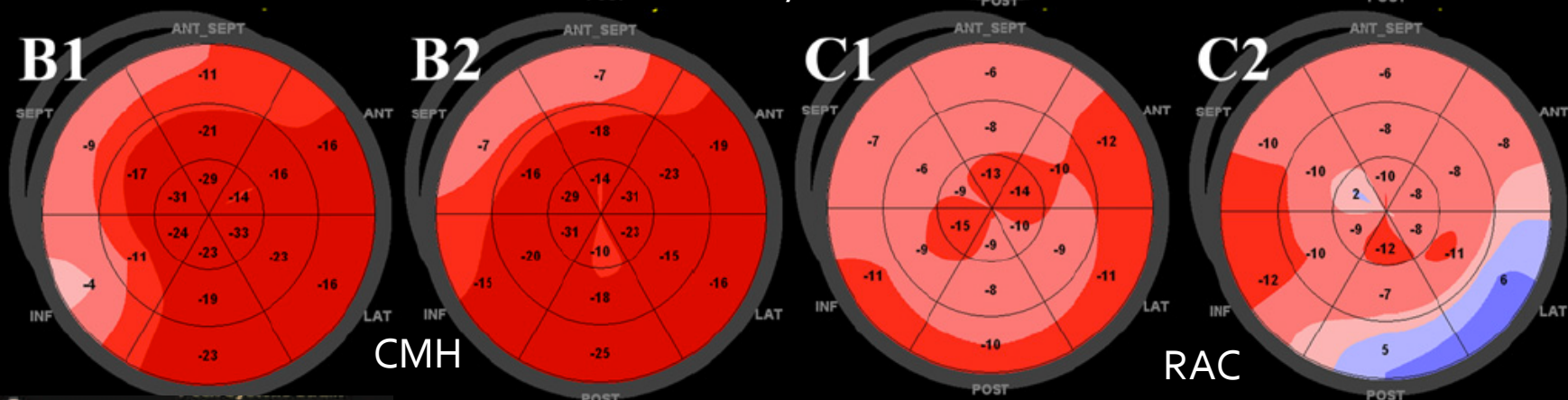
- Atteinte précoce Strain Longitudinal
puis Radial puis Circonférentiel

- Réduction du Strain radial (ou transverse) et circonférentiel ->
Meilleure sensibilité et reproductibilité inter-observateur que
l'évaluation visuelle des troubles de la cinéétique

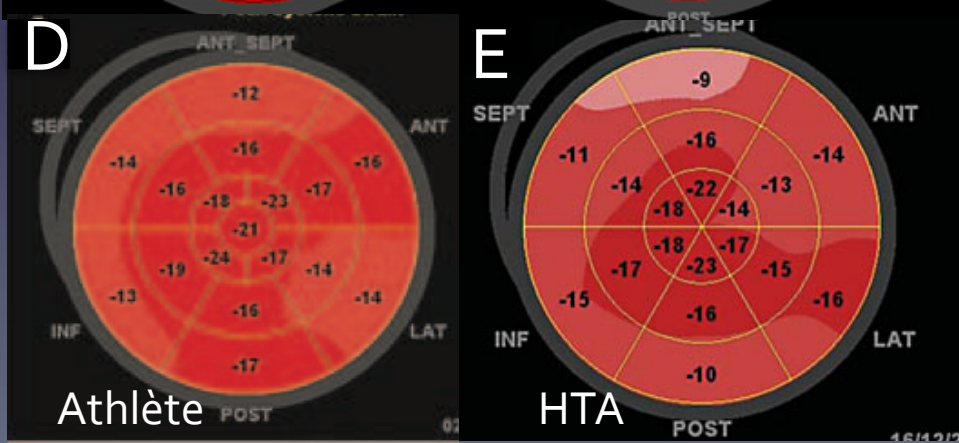
Profils de Strain Régional Distincts



Amylose



CMH



Athlète

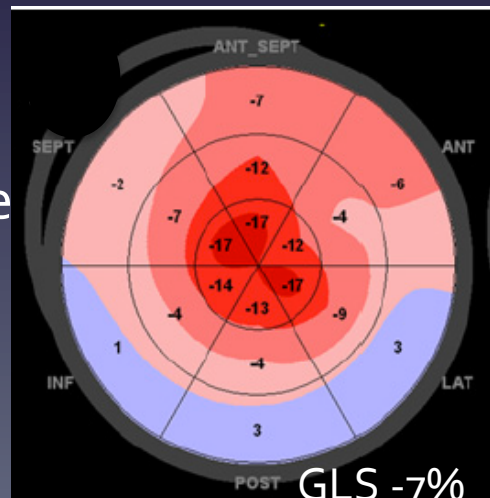
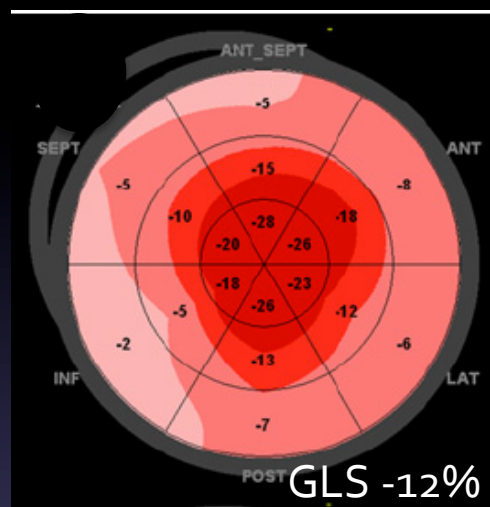
HTA

Phelan D et al, Heart. 2012 Oct;98(19):1442-8
Afonso et al, BMJ Open 2012;2:e001390

Amylose

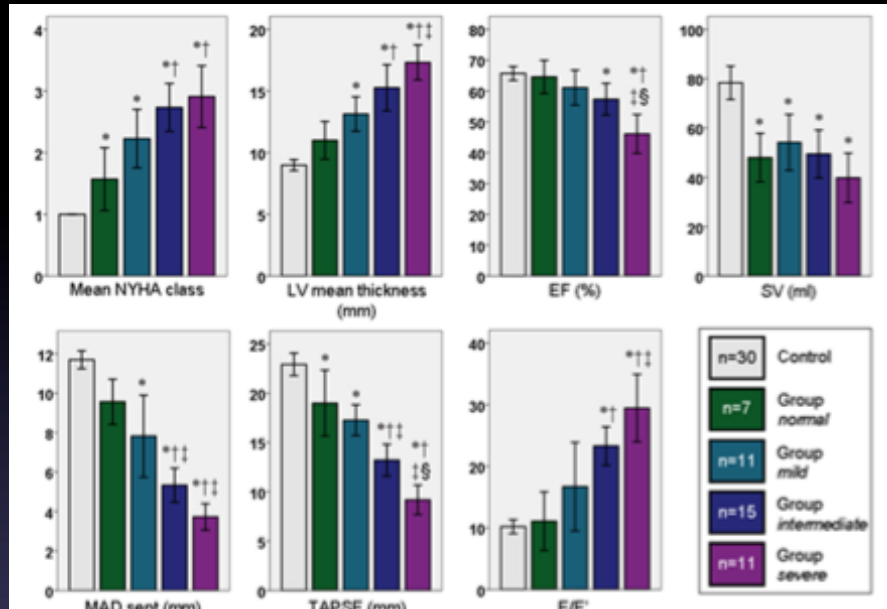
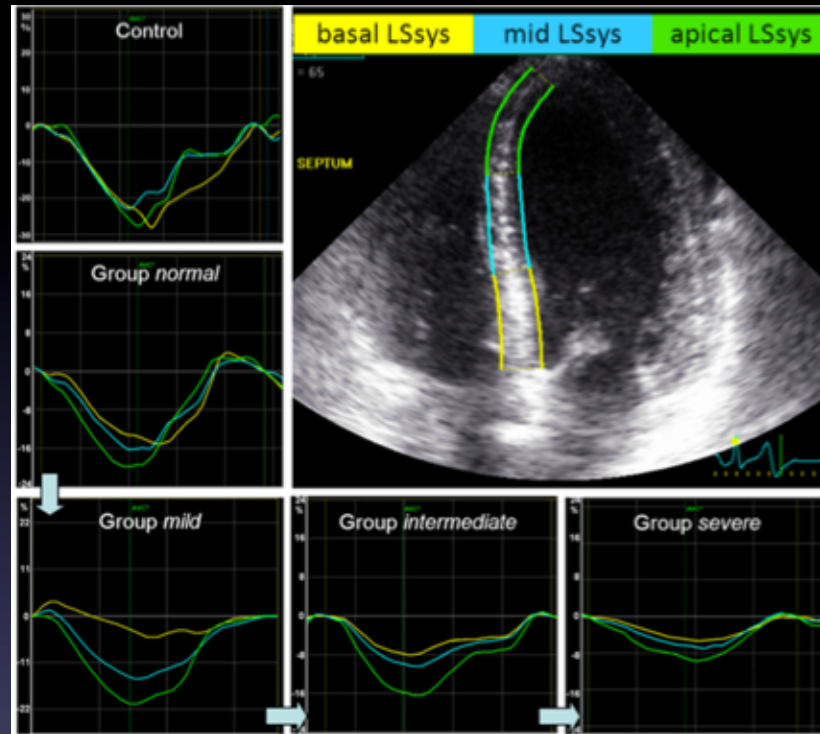
Strain – Marqueur Diagnostique

- Diminution du Strain longitudinal global
- Epargne des segments apicaux (gradient base-apex)
- Ssyst apical moyen/ moyenne Ssyst basal+moyen ≥ 1
 - Sensibilité 93%, Spécificité 82% pour l'Amylose
 - Liu et al, PLoS One. 2013;8(3):e56923
 - Phelan D et al, Heart. 2012 Oct;98(19):1442-8
- Strain Radial Préservé
- Diminution Strain systolique longitudinal et Strain rate
Décelable précocément en présence de paramètres écho standard normaux (Vélocité syst normale)
 - Bellavia et al, Am J Cardiol 2008;101:1039–1045



Amylose

Strain – Marqueur Pronostique

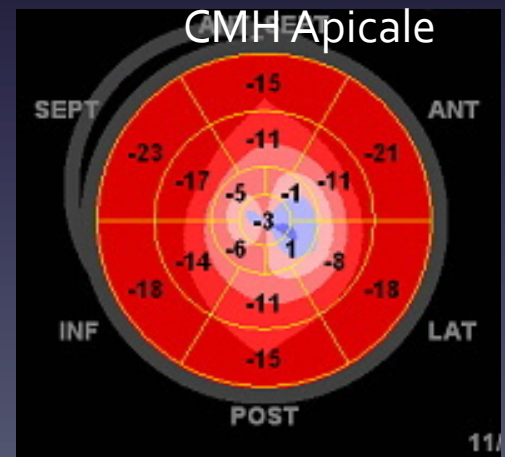
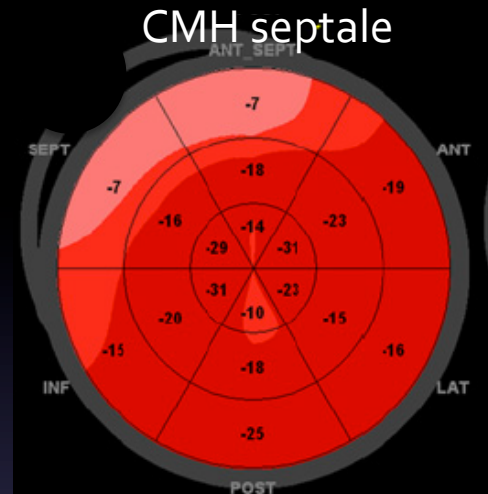


*Koyama et al, J Am Coll Cardiol Img 2010; 333–42
Liu et al, PLoS One. 2013;8(3):e56923*

- Réduction du Strain moyen à l'étage basal-> Prédicteur Indépendant de Mortalité CV et Globale
- Nombre de segments atteints proportionnel à la gravité
- Strain systolique longitudinal segment moyen du Septum <-11%
-> Augmentation du risque de mortalité de 4.8x à 1 an

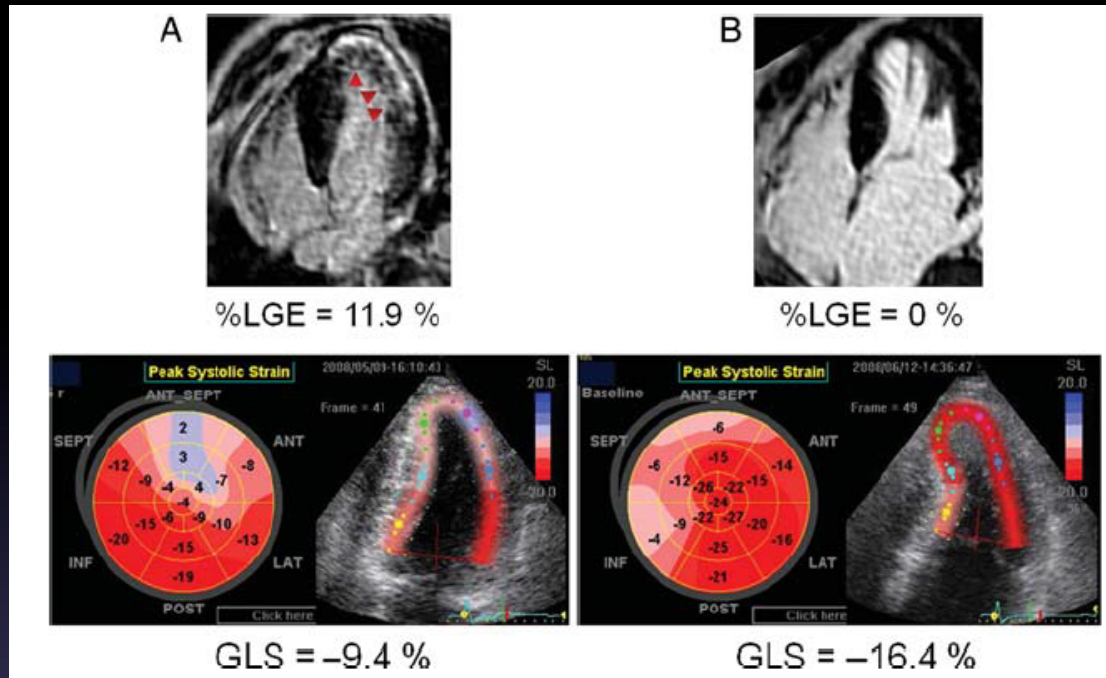
Cardiomyopathie Hypertrophique

- Réduction Strain long. systolique septal, site de l'hypertrophie maximale
 - Réduction du Strain Apical lors de CMH apicale
 - Strain supra-normal/normal au niveau des autres segments
 - Phelan D et al, Heart. 2012 Oct;98(19):1442-8
 - Identification d'une dysfonction systolique précoce (Diminution Ssyst long, radial, circonf et transverse chez CMH % contrôles malgré FEVG normale)
 - Serri et al, J Am Coll Cardiol 2006;47:1175-81



Cardiomyopathie Hypertrophique

- Diminution du Strain Régional et Global corrélée à la quantité de Fibrose détectée à l'IRM et aux évènements CV



- GLS $\leq -14\%$ discriminait **CMH** versus **Cardiopathie hypertensive** à FEVG préservée (sensibilité 77%, spécificité 97%)
- GLS $\leq -10\%$ + réduction S' et E' moyennés discriminaient **CMH** versus **Athlète** (sensibilité: 100%, spécificité 95%)

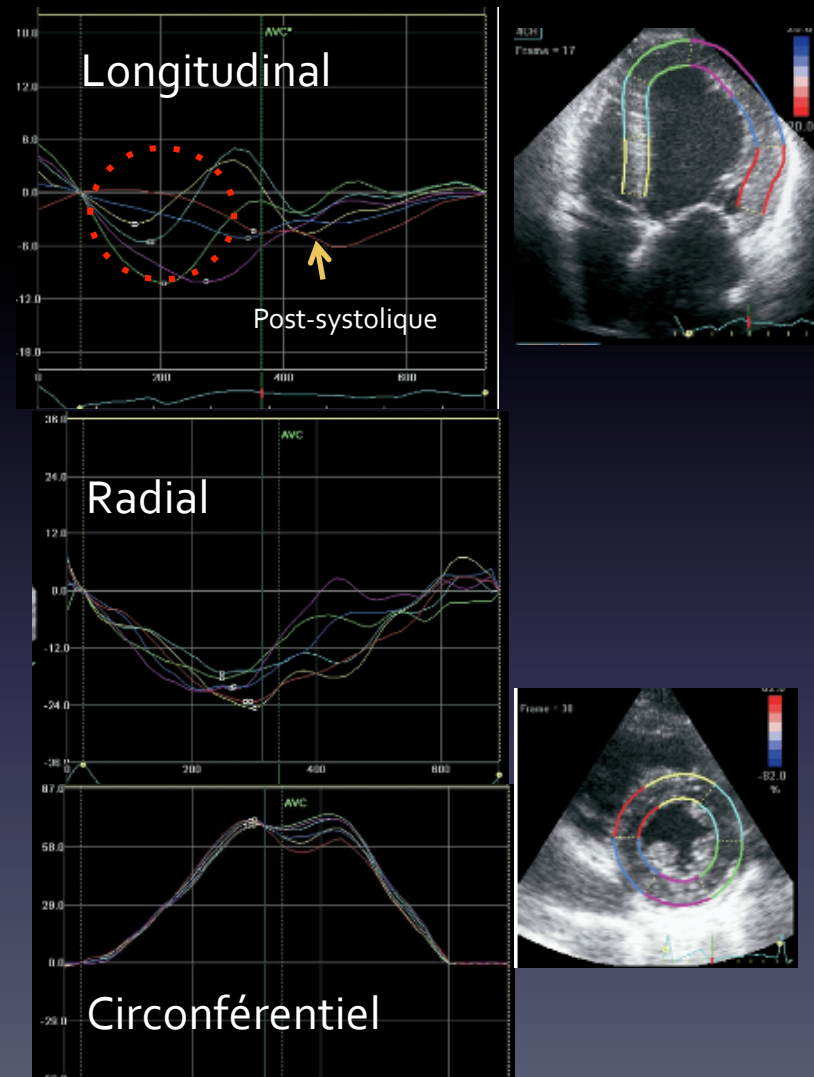
Saito et al, Eur H J Cardiovasc Imaging 2012, 13: 617-623

Afonso et al, BMJ Open 2012;0:e001390

Butz T et al, Int J Cardiovasc Imaging. 2011 Jan;27(1):91-100

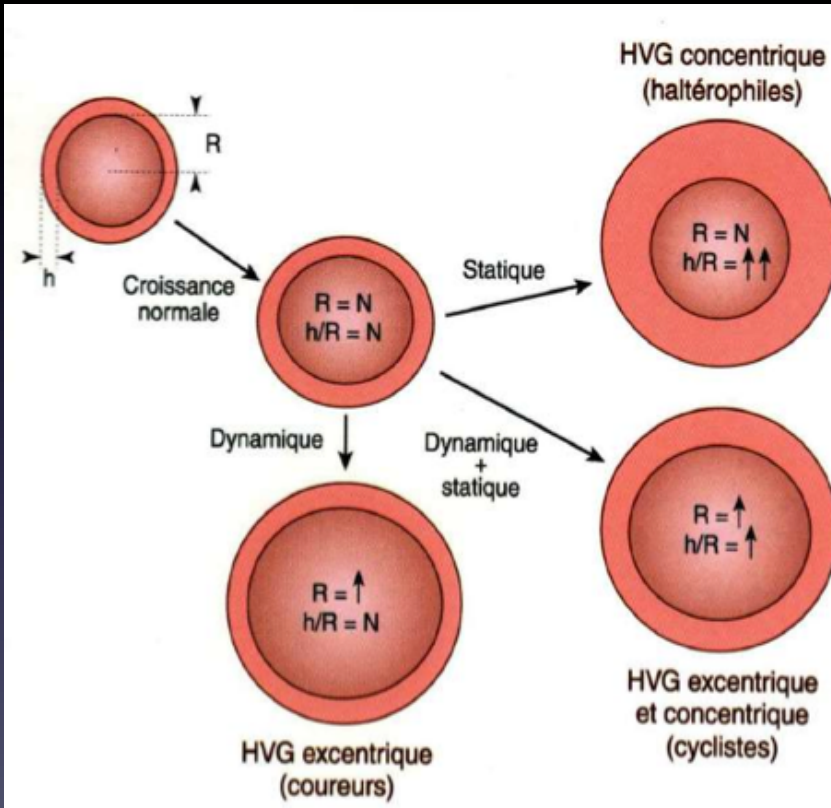
Cardiopathie hypertensive

- Préservation
 - Strain Global Long, Circonférentiel, Radial sauf en présence d'une HVG importante
- **Atteinte Précoce:**
 - Strain syst Longitudinal Régional (septum basal et moyen)- Fibrose
 - S', E'
 - Strain Circonf et Torsion normaux
- Strain Global Longitudinal et Circonférentiel sont inversement proportionnel à la masse VG
- Atteinte Strain Radial et Circonférentiel
-> NYHA III-IV



Narayanan et al, *Circ Cardiovasc Imaging*. 2009 Sep;2(5):382-90.
Kosmala et al, *J Am Soc Echocardiogr* 2008;21:1309-1317

Hypertrophie Physiologique- Athlète



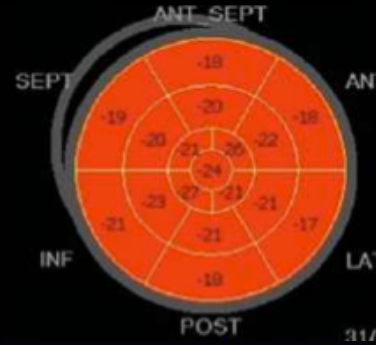
2 types d'adaptation

- ✓ Surcharge chronique de pression
 - Entraînement en résistance
 - \uparrow Épaisseurs pariétales
- ✓ Surcharge chronique de volume
 - Entraînement en endurance
 - Dilatation VG et pariétale

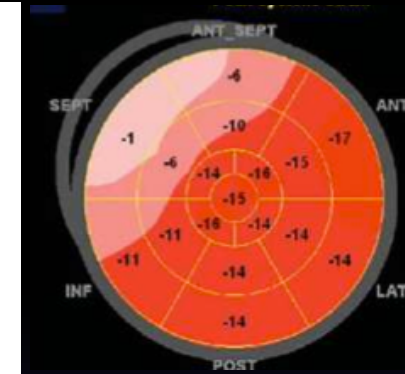
Le plus souvent

Entraînement statique et dynamique
Surcharge mixte

Hypertrophie Physiologique- Athlète



Athlete's Heart	Hypertrophic Cardiomyopathy
Normal longitudinal and other types of strain	Decreased longitudinal strain
Increased LVEDV	Decreased LVEDV
Decreases after deconditioning for 3 months	No change with deconditioning
Increased LV twist	Delayed LV untwisting
Increased early LA strain rate	Reduced LA strain and strain rate
No postsystolic thickening	Postsystolic thickening present



- GLS Normal chez les Athlètes (Résistants ou Endurants) en comparaison avec CMH (GLS<-10% CMH vs Athlètes)
- Strain long Régional est Normal
- Ssyst long septal basal<-11%, Ssyst long septal moyen <-15% -> CMH

Biswas et al, Echocardiography 2013;30(1):88-105

Butz et al, Int J Cardiovasc Imaging. 2011 Jan;27(1):91-100

Richard et al, Am J Cardiol 2007; 100: 128-32

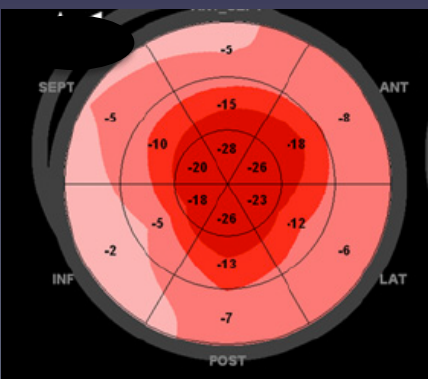
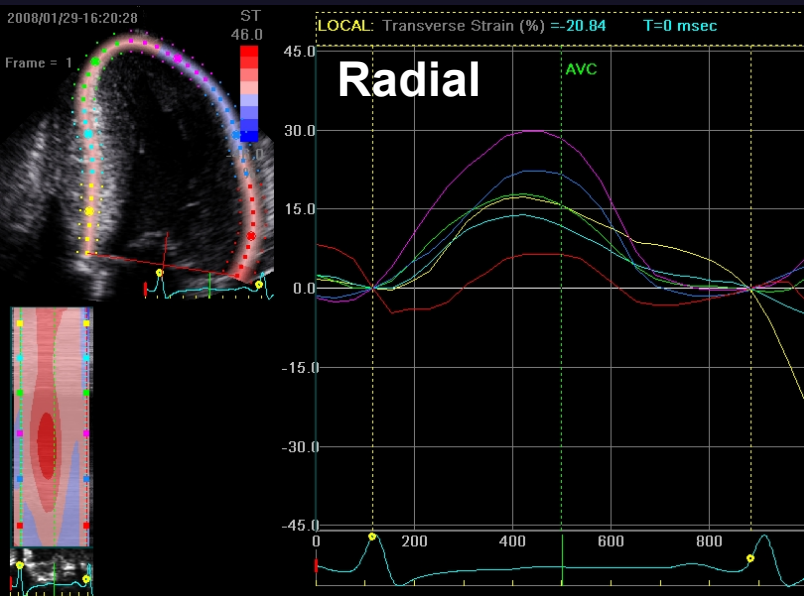
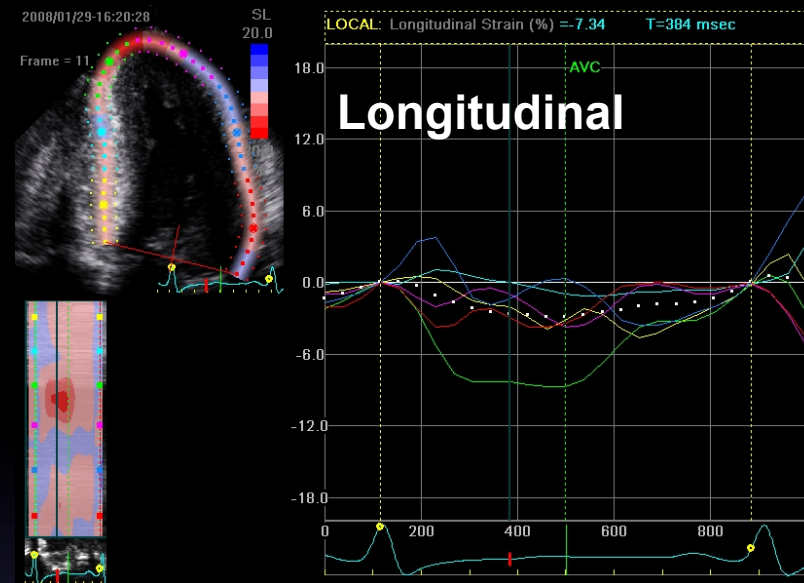
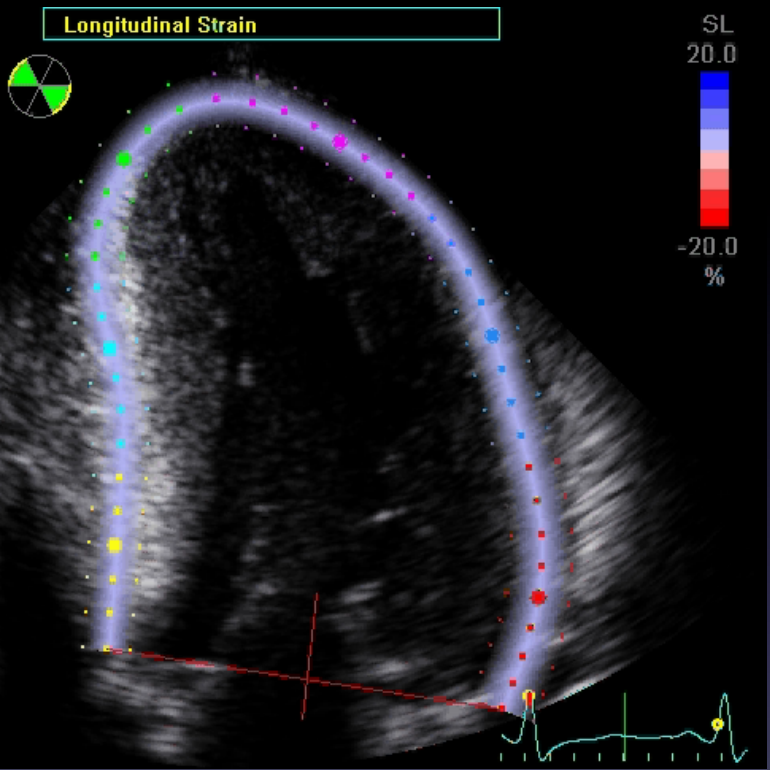
Hypertrophie Physiologique- Athlète

	PSPs	Controls
Longitudinal		
Base (%)	$-15.0 \pm 3.6^*$	$-18.9 \pm 4.1^*$
Mid-left ventricle (%)	$-16.4 \pm 3.0^\dagger$	$-20.8 \pm 4.5^\dagger$
Apex (%)	$-18.9 \pm 4.0^{*\dagger}$	$-24.1 \pm 5.3^{*\dagger}$
Transversal		
Base (%)	$35.4 \pm 22.2^\ddagger$	$31.9 \pm 21.5^\ddagger$
Mid-left ventricle (%)	$32.8 \pm 13.9^\ddagger$	$28.0 \pm 17.6^\ddagger$
Apex (%)	$35.5 \pm 18.9^\ddagger$	$26.5 \pm 15.2^\dagger$

Positive gradient is present in longitudinal strain, but absent for transverse strain in the 2 groups.

Footballeurs versus Témoins
GLS abaissé mais Strain Transverse augmenté
Strain Circonf et Radial semblables

Amylose

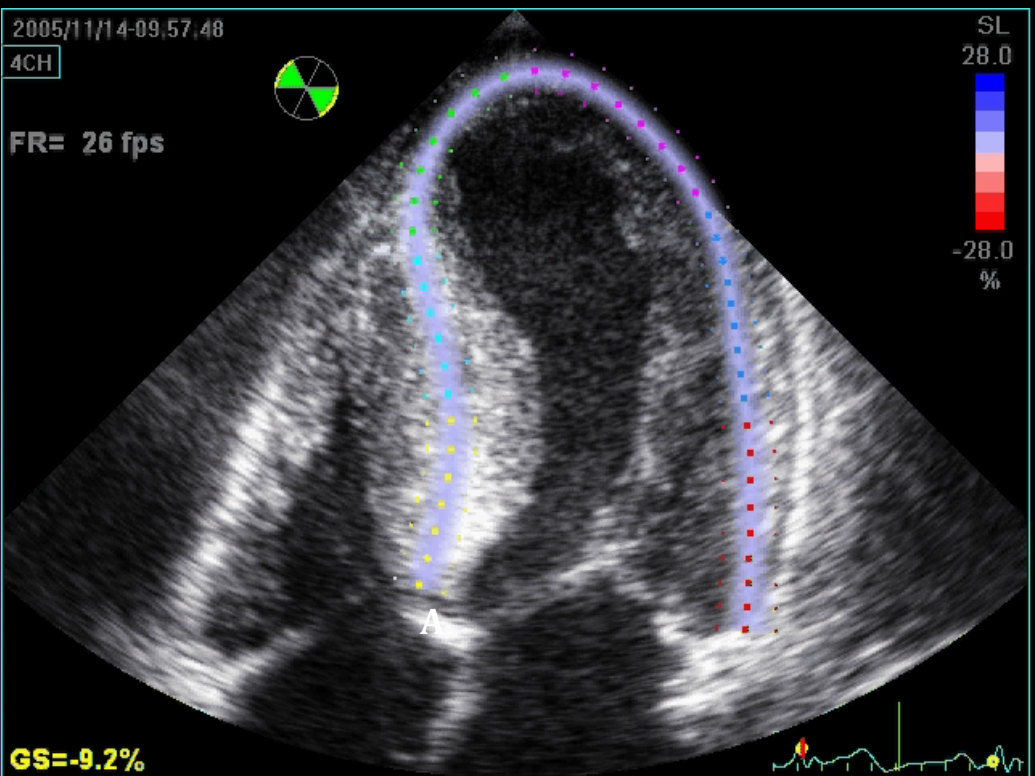


Discordance

Strain Longitudinal- Radial

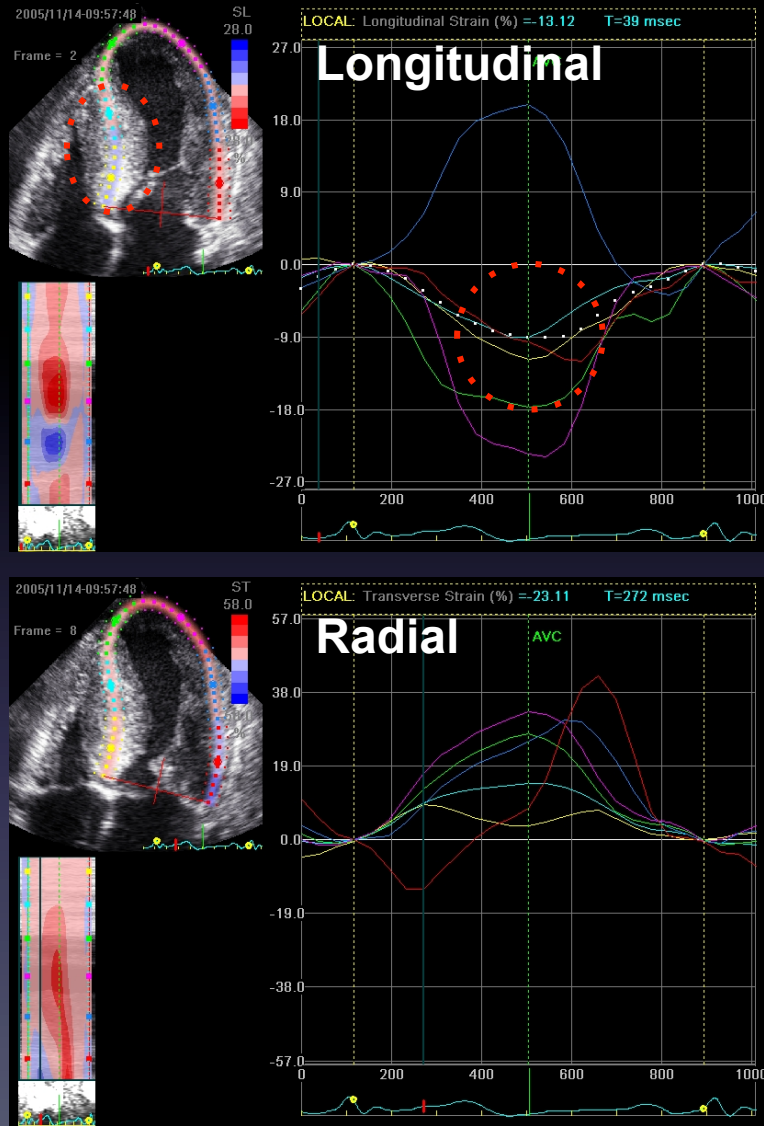
Epargne Strain segments Apicaux

CMH



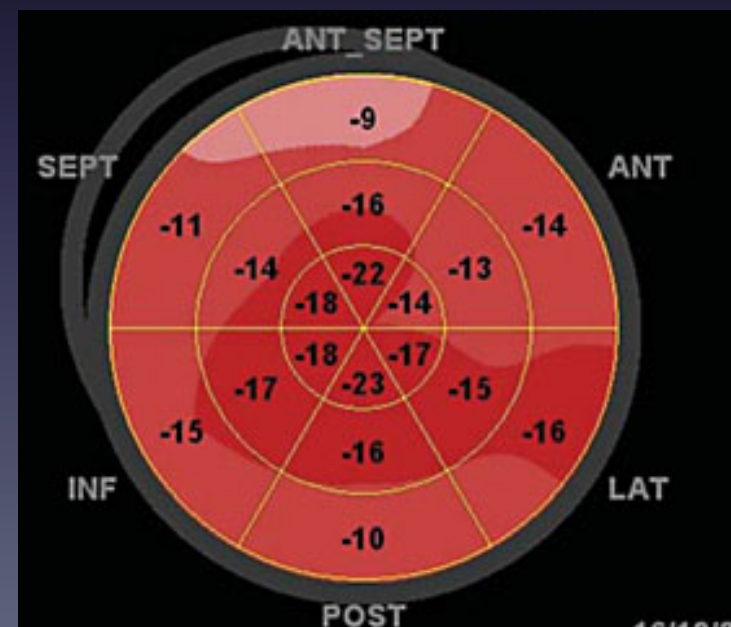
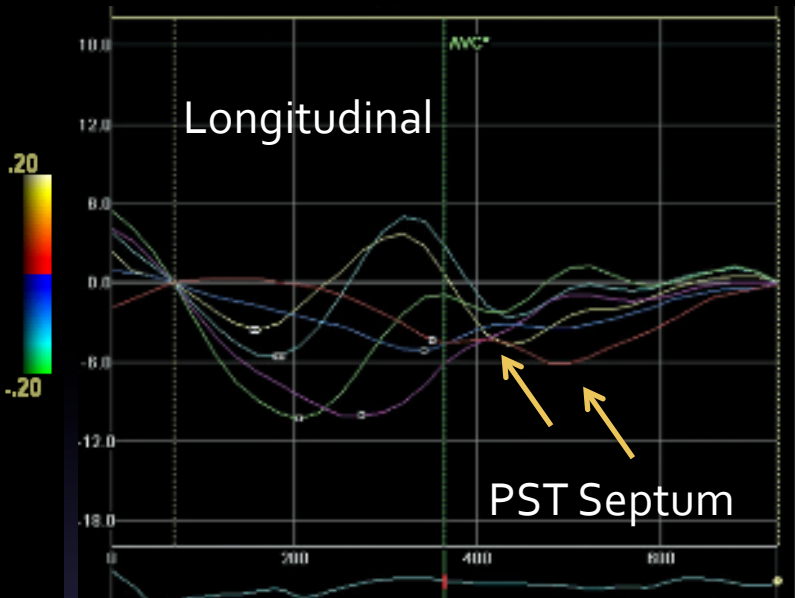
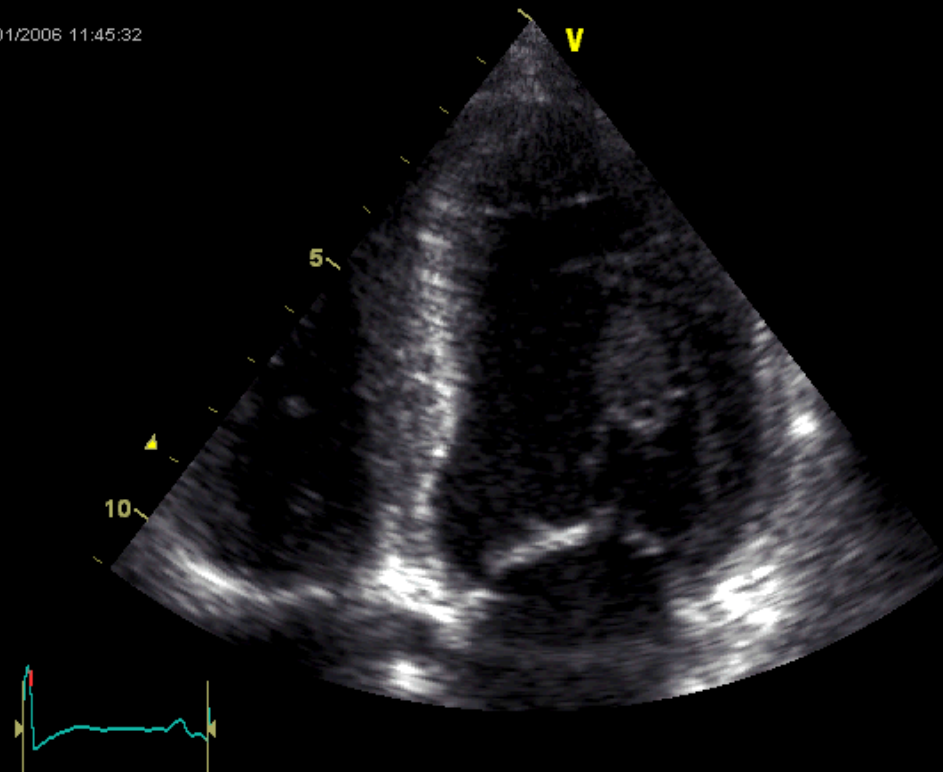
Diminution GLS

Diminution Strain Longitudinal zones
Hypertrophiées



HTA

25/01/2006 11:45:32

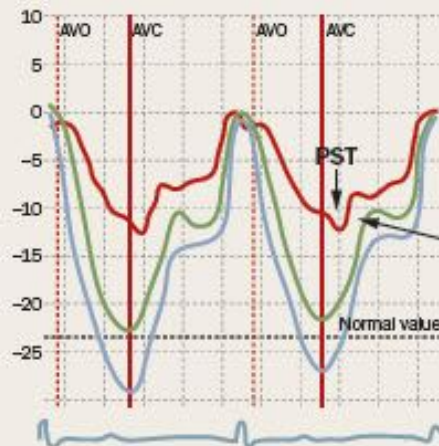


GLS normal mais

Diminution Strain systolique septal

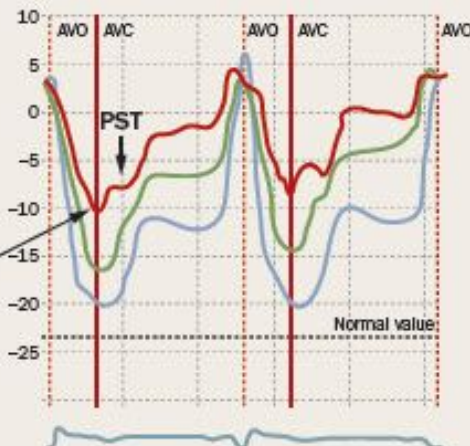
Déformation Post-systolique

Overall normal deformation and markedly reduced systolic + postsystolic deformation in the basal septal segment



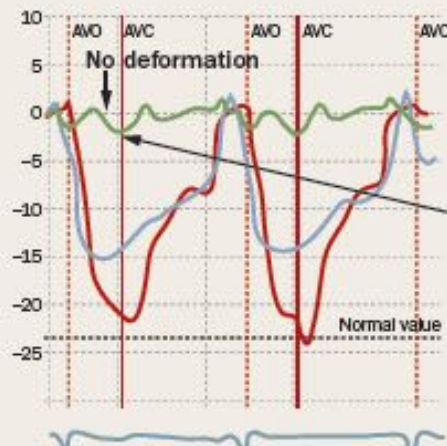
Hypertension

Overall reduced deformation and markedly reduced systolic + postsystolic deformation in the basal (infero-) lateral segment



Fabry

Overall (supra-) normal deformation



HCM

Overall reduced deformation and absent systolic deformation, surround by quasi normal deformation, in at least one segment

(Quasi) absent systolic longitudinal deformation in all segments

Strain – Reflet des Propriétés Physiopathologiques

Parameter	Physiological hypertrophy (e.g. in athletes) ⁴¹⁻⁴⁸	Pressure overload ^{5,53,55-61}	HCM ^{85,86,91-97}	Amyloidosis ¹⁰⁹⁻¹¹⁵	Systemic diseases ^{30,31,125-128,134}
Biopsy	Normal	Cellular hypertrophy, replacement fibrosis (AS)	Myocyte disarray	Extracellular amyloid deposits	Cellular hypertrophy
Regional or diffuse	Diffuse	Regional	Regional	Diffuse	Regional
Affected region	Diffuse	Basal septum	Predominantly basal/mid septum (patient specific)	Diffuse	Basal inferolateral
Ejection fraction	(Supra)normal	Normal/reduced	(Supra)normal/reduced	Severely reduced	Normal/reduced
Diastolic function	Supranormal	Impaired	Impaired	Impaired/restrictive	Impaired
Global deformation	(Supra)normal	Reduced + PST	Reduced + PST	Severely reduced	Reduced + PST
Longitudinal function	(Supra)normal	Impaired (most in base)	Absent in affected regions	Severely impaired	Impaired
Radial function	(Supra)normal	Maintained/increased	Impaired/increased	Mildly impaired	Mildly impaired

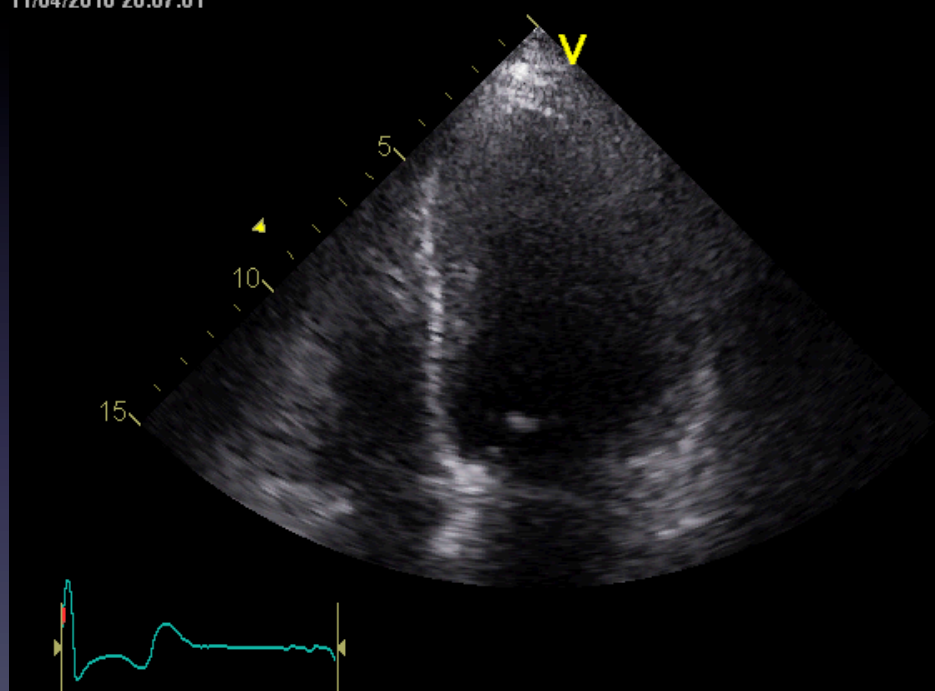
Abbreviations: AS, aortic stenosis; HCM, hypertrophic cardiomyopathy; PST, postsystolic thickening or shortening.

Cas 1

- 70 ans
- HTA
- Bilan cardiovasculaire
- ECG: T négative profondes V₄, V₆, I, aVL
- ETT: Echogenicité moyenne, HVG discrète, Apex mal visualisé
- Coronarographie: normale

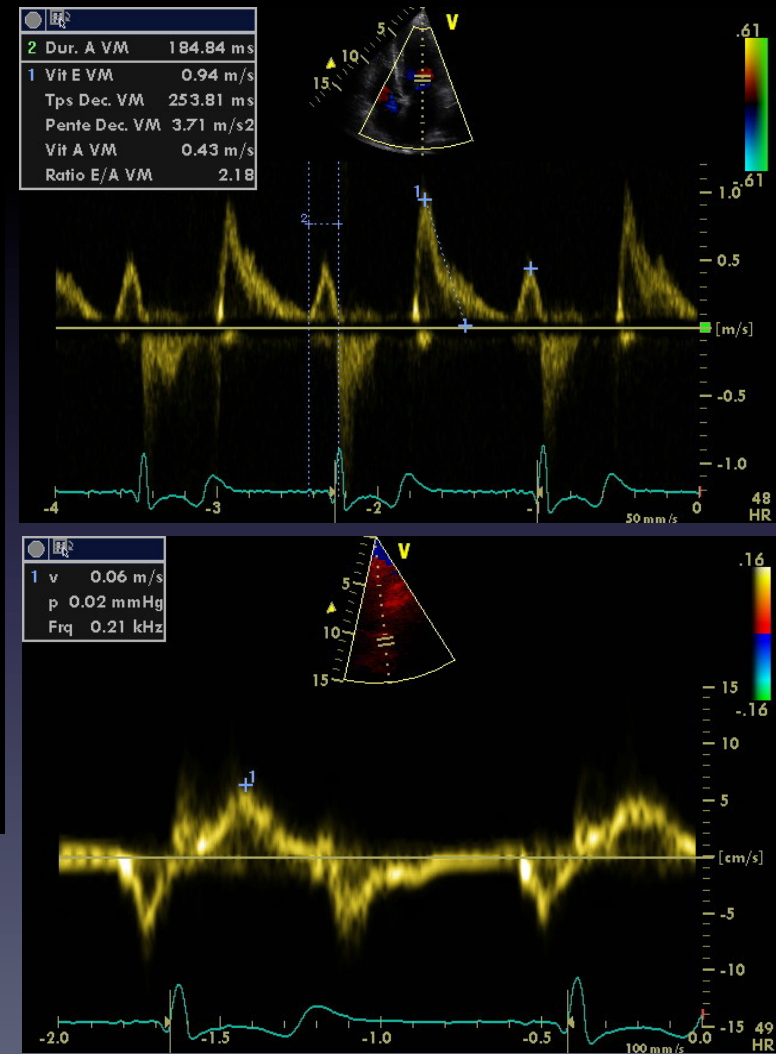
Cas 1- ETT

11/04/2010 20:07:01

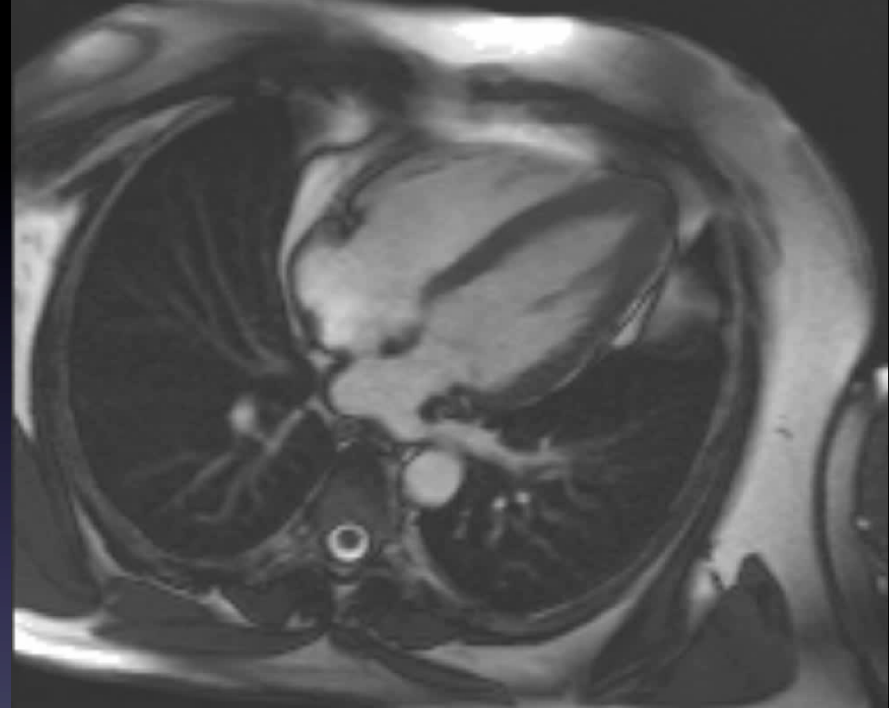
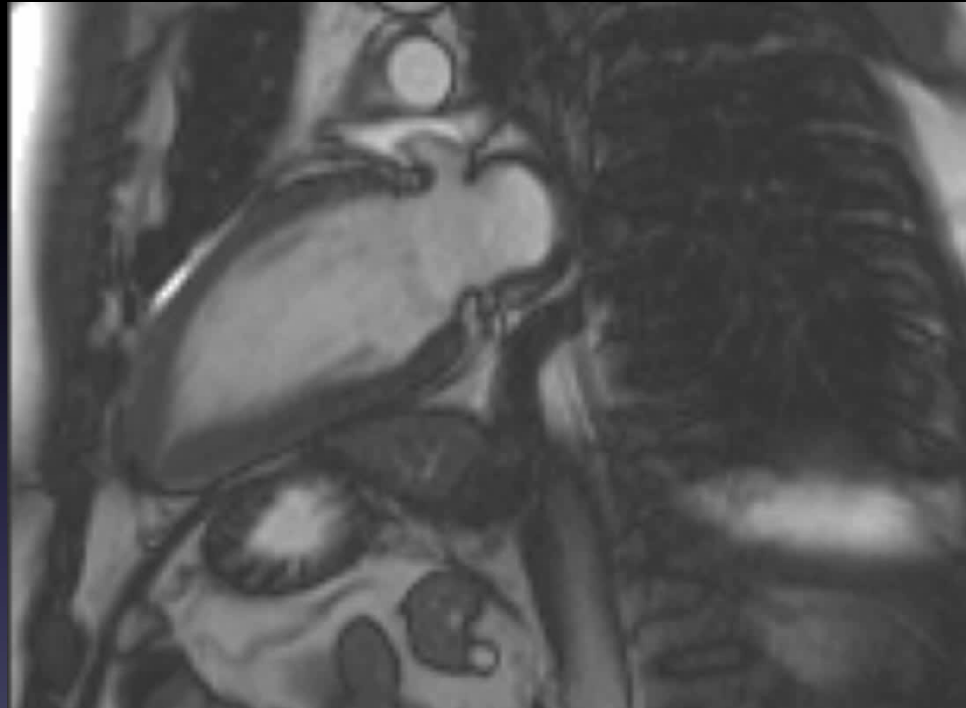


Sann: 6 cm/sec

E/E': 18



Cas 1- Cine IRM



FEVG: 77%

VTD: 113 ml, VTS: 29 ml

Masse: 59 g/m²

Epaisseur maximale: 10 mm

Cas 1- IRM de Perfusion

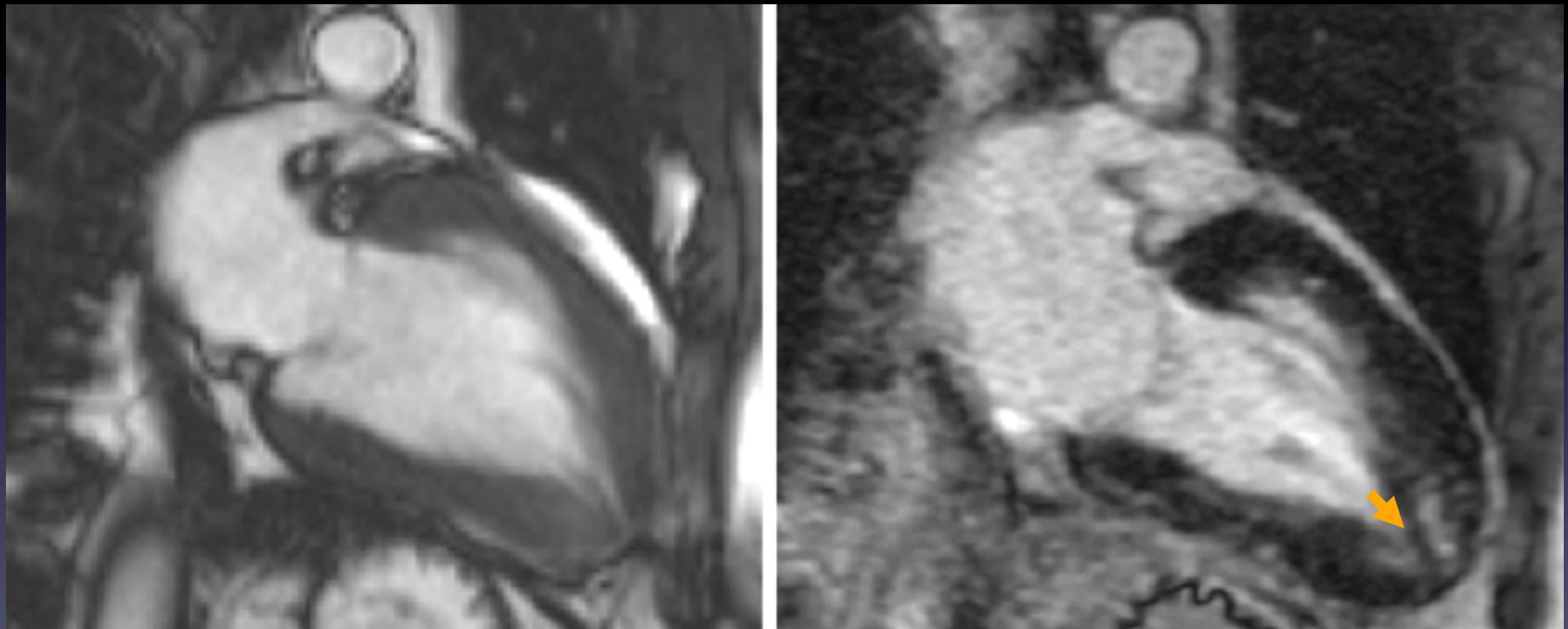
Stress



Repos

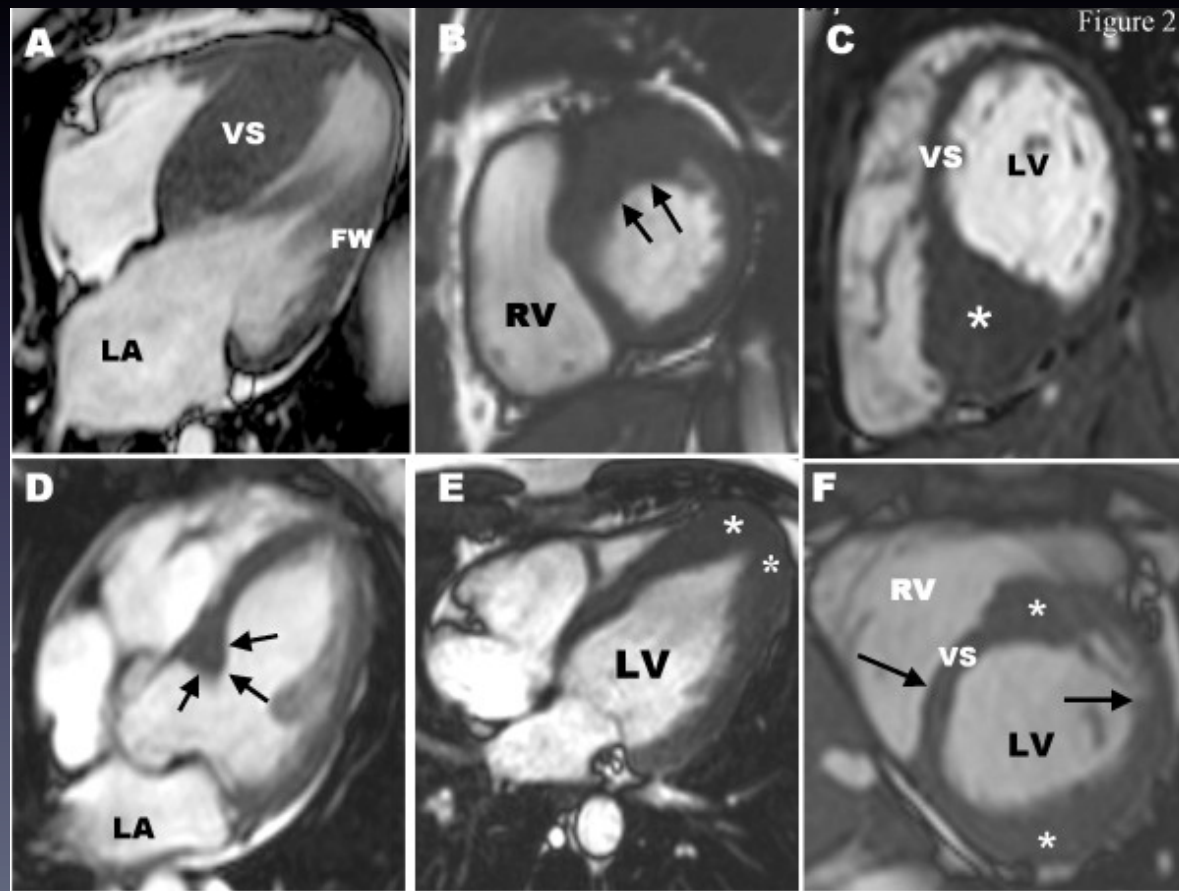


Cas 1- Rehaussement Tardif



Apport de l'IRM dans la CMH

- Meilleure détection et mesure de l'Hypertrophie surtout paroi Antérolatérale et Apex
 - Rickers et al, Circulation 2005; 112: 855-861
 - Maron et al, J Am Coll Cardiol 2009; 54(3):220-228



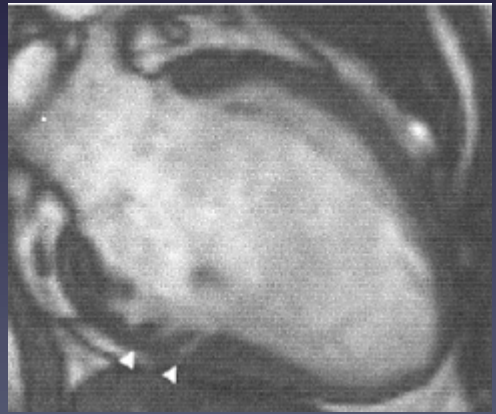
Apport de l'IRM dans la CMH

- Détection Anévrisme Apicaux (2% CMH)



- Dépistage Familial
 - Cryptes intra-myocardiques c/o porteurs sains de mutations génétiques de la CMH

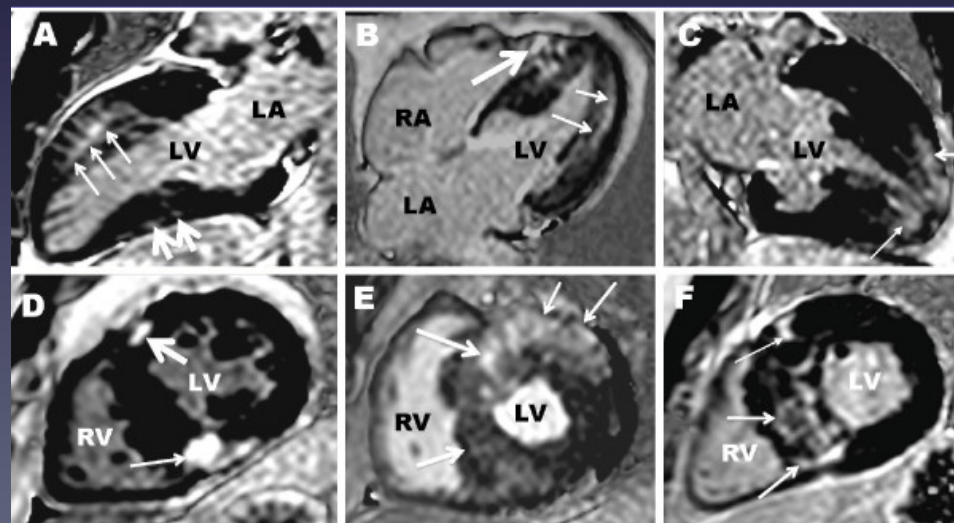
Germans et al, J Am Coll Cardiol 2006;48:2518–23



Apport de l'IRM dans la CMH

- Valeur diagnostique et Pronostique du Rehaussement Tardif
- Rehaussement Tardif:
 - Dans les zones d'Hypertrophie (80% pts)
 - Absence -> 100% de survie sans évènements CV à 6 ans
 - > 5% masse myocardique, FA, hypertrophie septale>30mm
 - ◆ Prédicteurs indépendant de Mortalité et Décharges par DAI

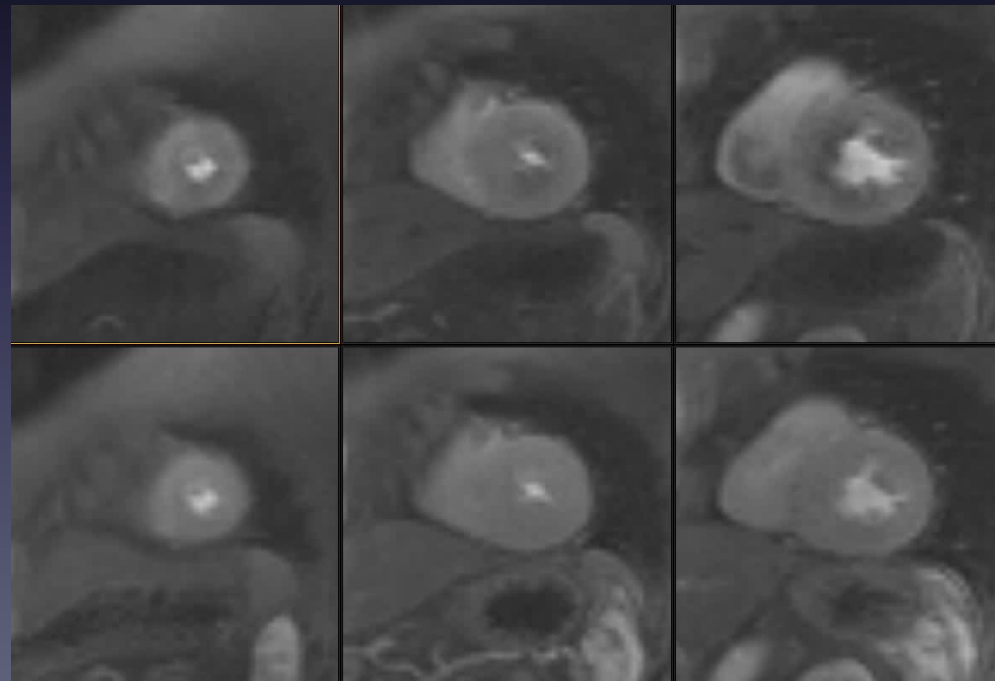
Flett et al, *Circ Cardiovasc Imaging* 2009; 2(3):243-250.



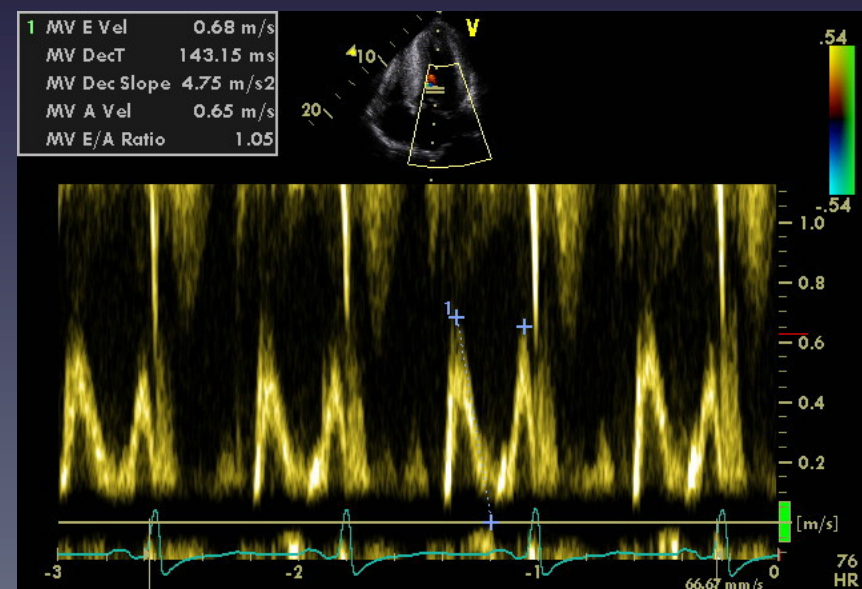
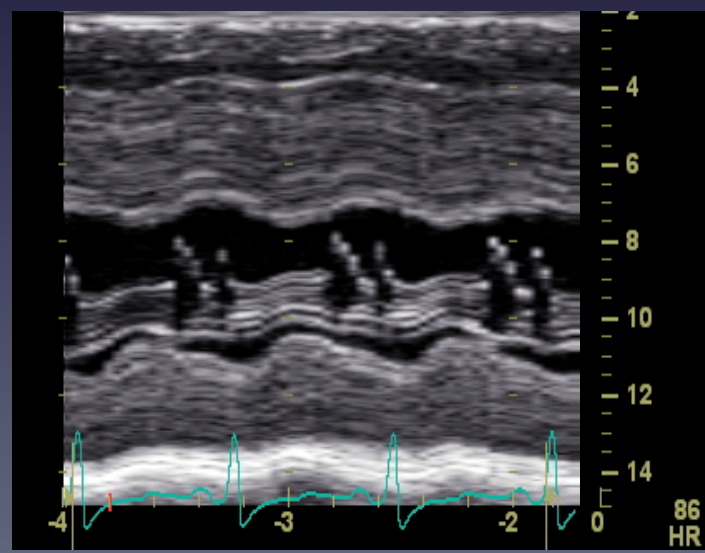
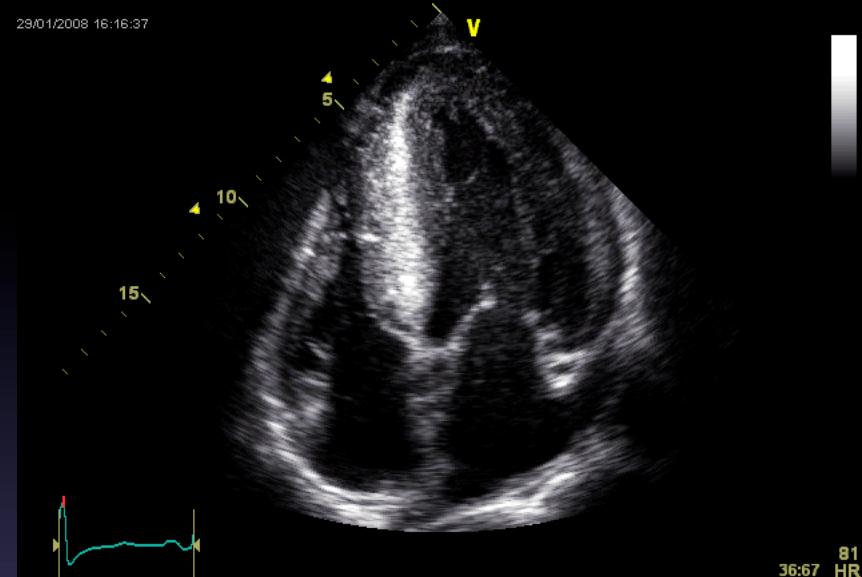
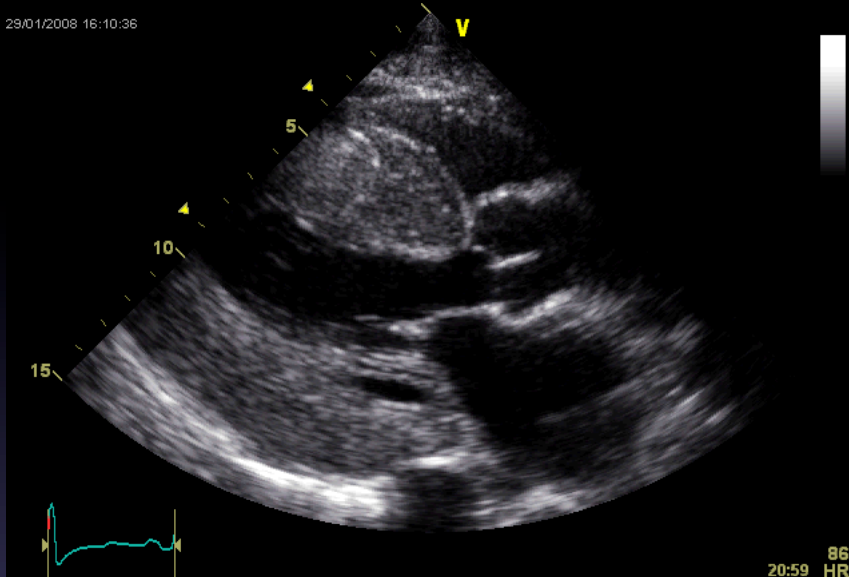
Apport de l'IRM dans la CMH

➤ Dysfonction microvasculaire

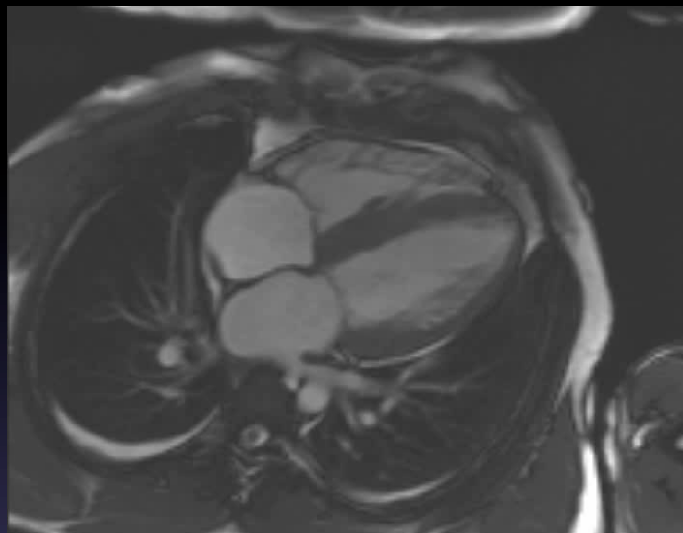
- Ischemie circonférentielle – Facteur de mauvais Pronostic
 - Petersen et al, *Circulation* 2007; 115(18):2418-2425



Cas 2- ETT



Cas 2- IRM



FEVG: 66%

VTD: 93ml/m²

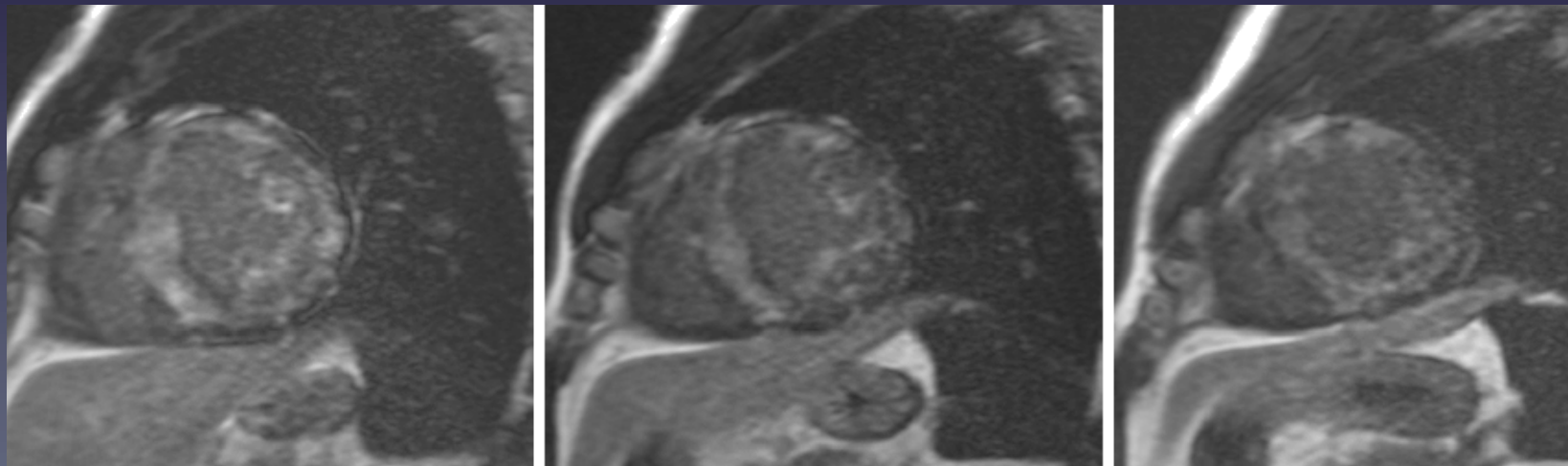
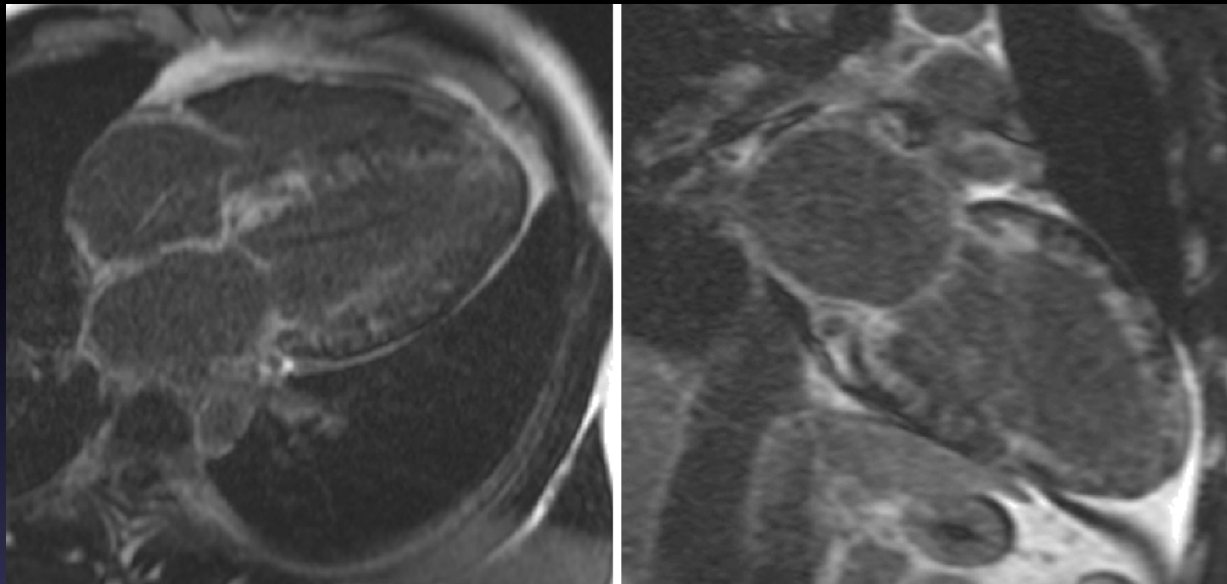
VTS: 31ml/m²

Masse: 109g/m²

Epanchements pleuraux bilatéraux

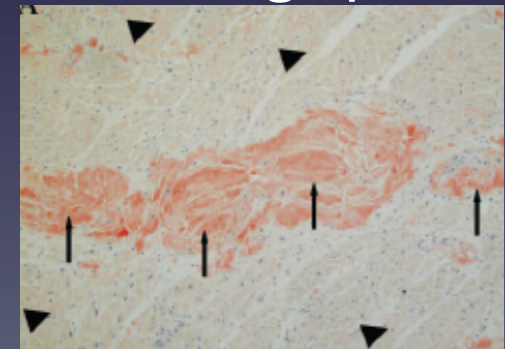
Cas 2- IRM

Rehaussement
diffus
circonférentiel
précoce



Apport de l'IRM dans l'Amylose

- Caractérisation tissulaire non-invasive *in vivo*
 - Cinétique particulière du Gd liée à l'accumulation de fibrilles d'amyloïde dans l'espace interstitiel
 - Rehaussement tardif suit la distribution histologique des fibrilles d'Amyloïde



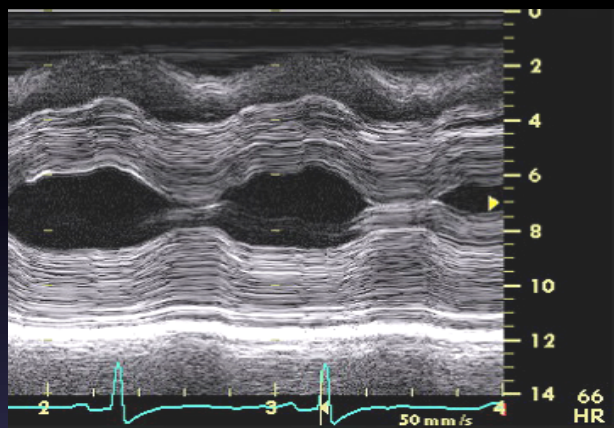
Maceira et al, *Circulation* 2005; 111(2):186-193

Apport de l'IRM dans l'Amylose

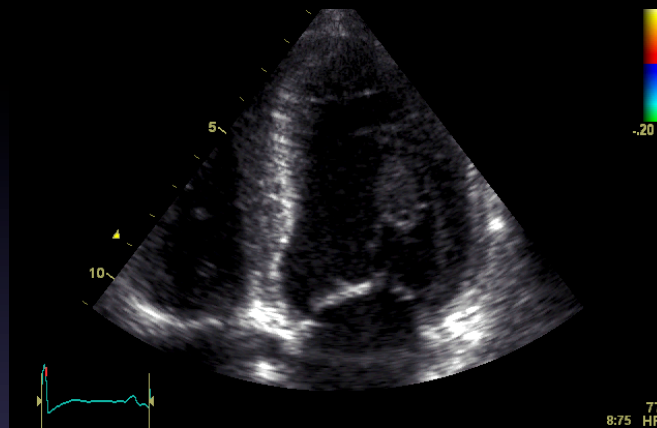
- Détection Atteinte cardiaque par Rehaussement tardif
 - Sensibilité et Spécificité de 86%
 - Ruberg et al, *Am J Cardiol* 2009; 103(4):544-549
- Détection Atteinte myocardique précoce c/o pts avec amylose systémique sans HVG
 - Syed et al, *JACC Cardiovasc Imaging* 2009; 3(2):155-164
- Cinétique de distribution du Gd (intramyocardial T1 gradient) correlée à la survie
 - Maceira et al, *J Cardiovasc Magn Reson* 2008; 10(1):54

Quizz

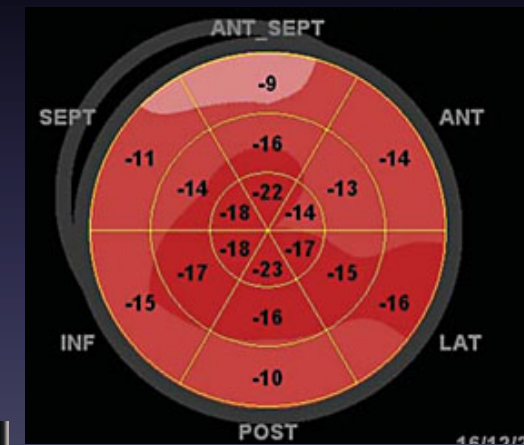
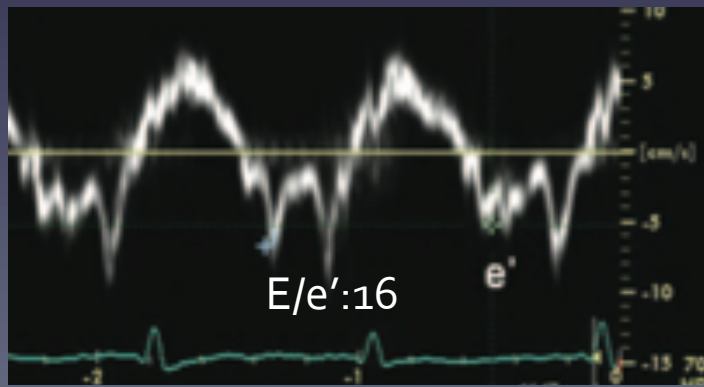
HVG concentrique



FEVG: 75%



Pressions de remplissage élevées



GLS: -20%

Quizz- IRM

Rehaussement tardif



FEVG: 70%

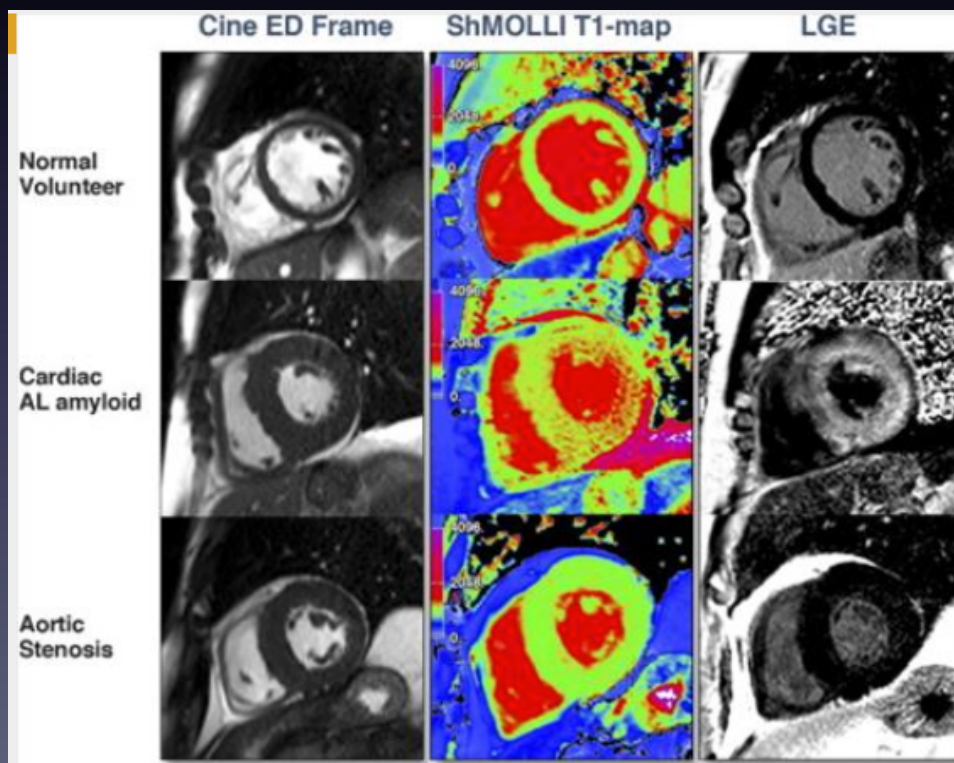
Masse myocardique: 100g/m²

Epaisseur maximale au niveau antéroseptal basal: 18mm

Cardiopathie hypertensive

Cardiopathie Hypertensive

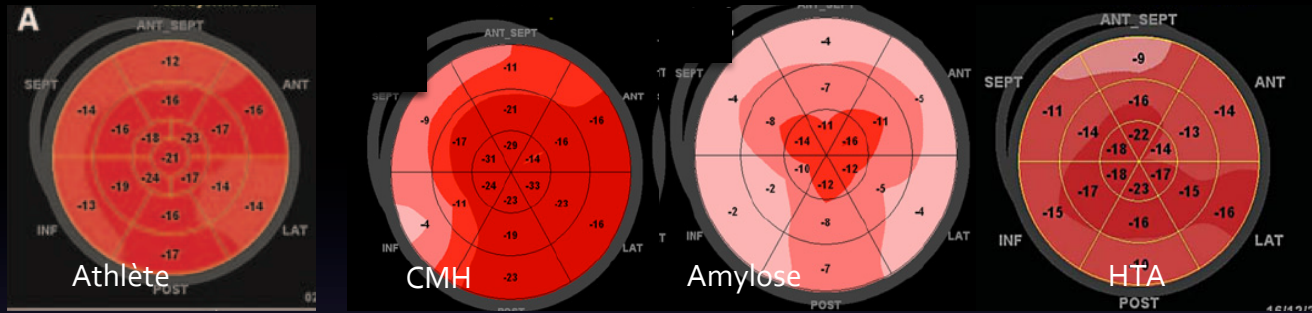
- Fibrose chez 45% pts
- Fibrose interstitielle, diffuse, non décelable par les techniques de rehaussement tardif
- T₁ mapping



Conclusions

- L'évaluation d'une Cardiomyopathie Hypertrophique requiert une Approche multi-modalitaire
- L'Echocardiographie en première intention
 - 2D Strain
- L'IRM cardiaque représente un outil précieux et complémentaire à l'Imagerie échocardiographique
 - Rôle Diagnostique
 - Rôle Pronostique

Conclusions



Profil de Strain échocardiographique

Profil de Rehaussement tardif

